

# Conjecture de Gallai de décomposition en chemins Le cas des graphes planaires

Alexandre Blanché, Marthe Bonamy, Nicolas Bonichon

LaBRI, Université de Bordeaux

Journées Graphes et Algorithmes 2020

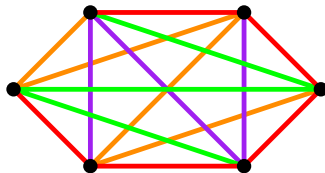
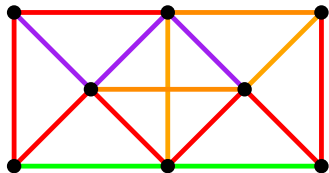
Novembre 2020

**LaBRI**

université  
de **BORDEAUX**

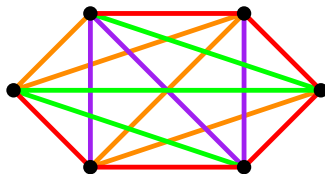
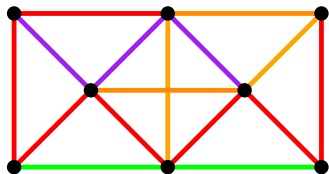
# Décomposition en chemins

Décomposition en chemins : une **partition** des arêtes en chemins



# Décomposition en chemins

Décomposition en chemins : une **partition** des arêtes en chemins

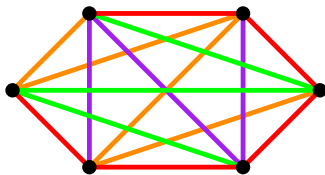
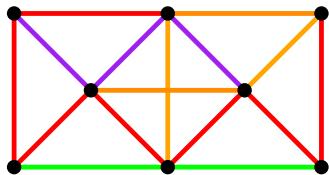


Conjecture (Gallai, 1968)

Tout graphe connexe à  $n$  sommets admet une décomposition en au plus  $\left\lceil \frac{n}{2} \right\rceil$  chemins.

# Décomposition en chemins

**Décomposition en chemins** : une **partition** des arêtes en chemins



**Conjecture (Gallai, 1968)**

Tout graphe connexe à  $n$  sommets admet une décomposition en au plus  $\left\lceil \frac{n}{2} \right\rceil$  chemins.

**Conjecture (Hajós, 1968)**

Tout graphe eulérien à  $n$  sommets admet une décomposition en au plus  $\left\lfloor \frac{n}{2} \right\rfloor$  cycles.

## Théorème (Lovász, 1968)

Tout graphe à  $n$  sommets peut être décomposé en au plus  $\lfloor \frac{n}{2} \rfloor$  chemins et cycles.

## Bornes générales

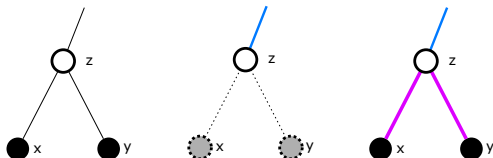
$|impairs|$ ,  $|pairs|$  : nombre de sommets de degré impair, pair

- Lovász, 1968 :  $\leq \frac{|impairs|}{2} + |pairs| - 1$
- Donald, 1980 :  $\leq \frac{|impairs|}{2} + \left\lfloor \frac{3|pairs|}{4} \right\rfloor$
- Dean, Kouider, 2000 :  $\leq \frac{|impairs|}{2} + \left\lfloor \frac{2|pairs|}{3} \right\rfloor$

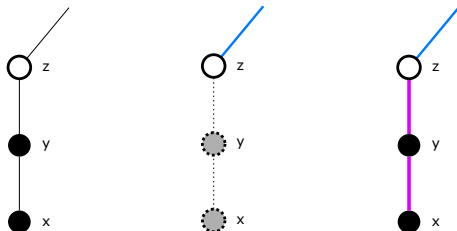
# Exemple sur les arbres

Si un arbre est un **contre-exemple minimum** pour la conjecture :

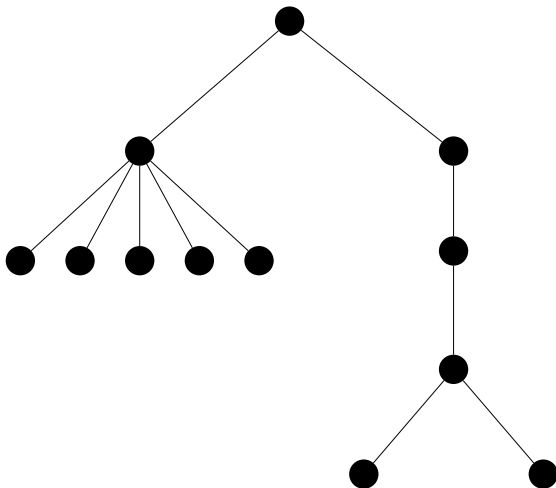
- On sait s'occuper des feuilles ayant un parent commun :



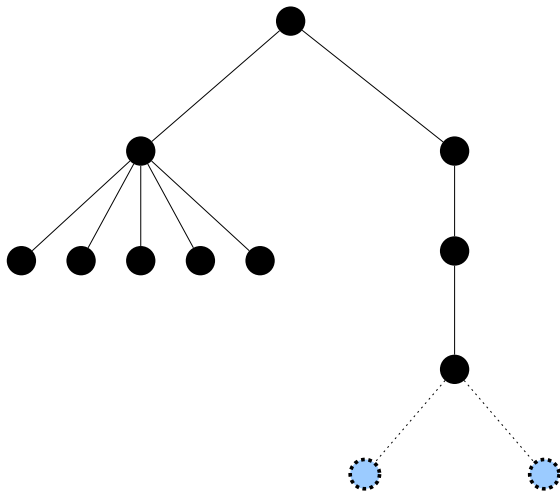
- On sait s'occuper des feuilles seules :



# Exemple sur les arbres

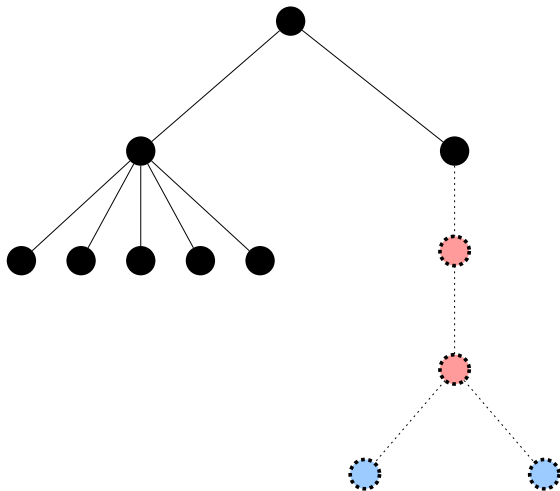


# Exemple sur les arbres

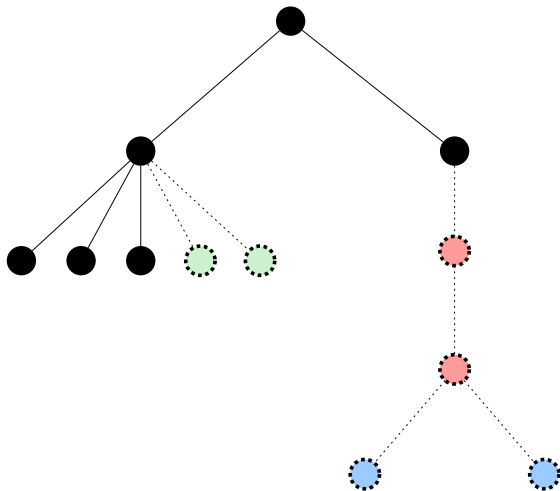




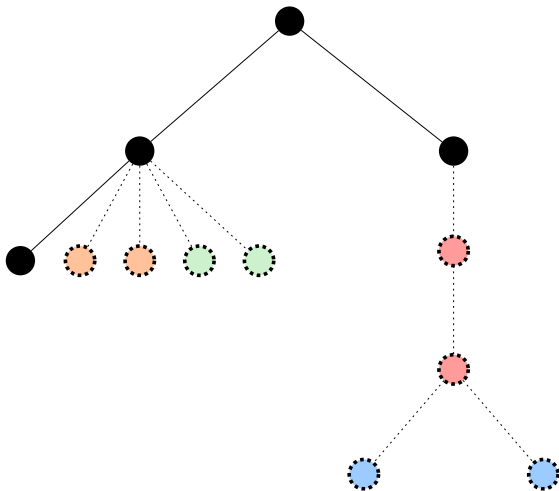
# Exemple sur les arbres



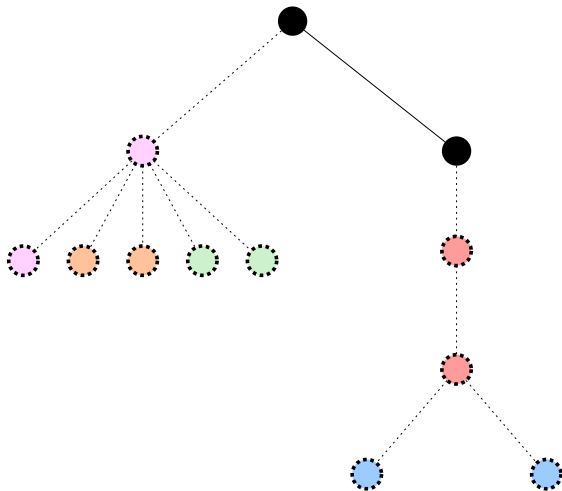
# Exemple sur les arbres



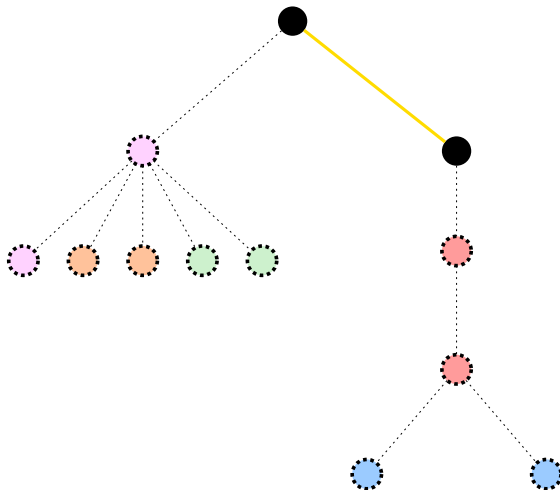
# Exemple sur les arbres



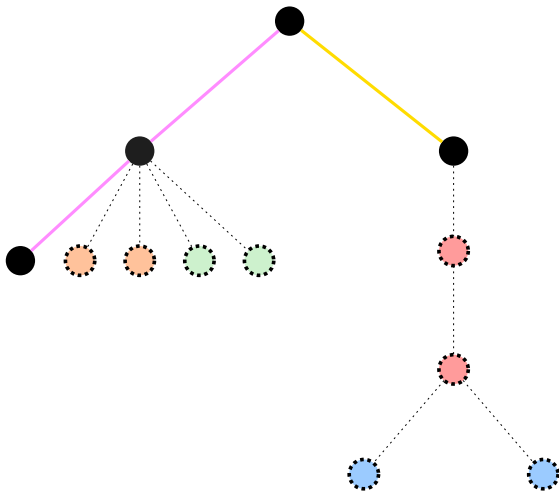
# Exemple sur les arbres



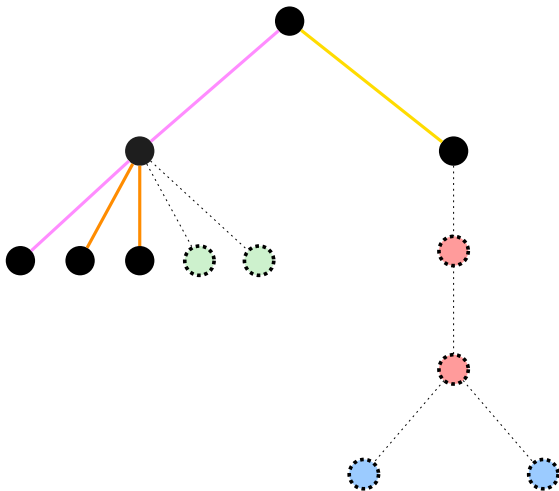
# Exemple sur les arbres



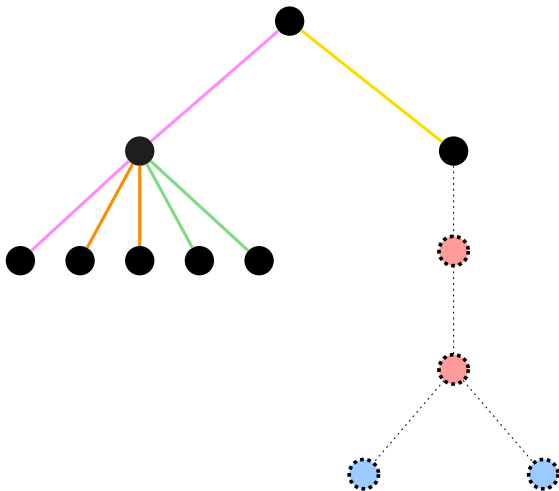
# Exemple sur les arbres



# Exemple sur les arbres

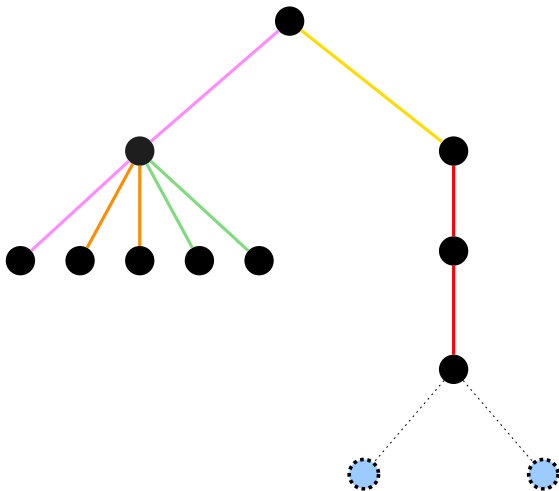


# Exemple sur les arbres

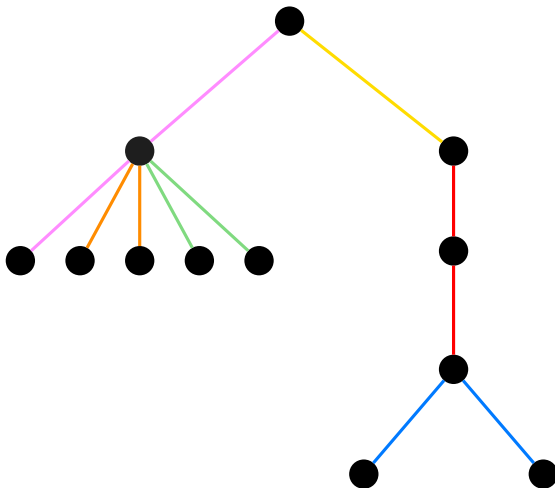




# Exemple sur les arbres



# Exemple sur les arbres



## Classes de graphes sur lesquelles la conjecture est vérifiée

( $G_{\text{even}}$  = graphe induit par les sommets de degré pair)

- Lovász, 1968:  $|G_{\text{even}}| \leq 1$
- Favaron, Kouider, 1988: Chaque sommet est de degré 2 ou 4
- Pyber, 1996:  $G_{\text{even}}$  est une forêt
- Fan, 2005: Chaque bloc de  $G_{\text{even}}$  est sans triangle et de degré maximum  $\leq 3$
- Bonamy, Perrett, 2016: Degré maximum  $\leq 5$
- Botler, Sambinelli, 2017: Treewidth  $\leq 3$
- Botler, Jiménez, Sambinelli, 2018: Graphes planaires sans triangle

## Classes de graphes sur lesquelles la conjecture est vérifiée

( $G_{\text{even}}$  = graphe induit par les sommets de degré pair)

- Lovász, 1968:  $|G_{\text{even}}| \leq 1$
- Favaron, Kouider, 1988: Chaque sommet est de degré 2 ou 4
- Pyber, 1996:  $G_{\text{even}}$  est une forêt
- Fan, 2005: Chaque bloc de  $G_{\text{even}}$  est sans triangle et de degré maximum  $\leq 3$
- Bonamy, Perrett, 2016: Degré maximum  $\leq 5$
- Botler, Sambinelli, 2017: Treewidth  $\leq 3$
- Botler, Jiménez, Sambinelli, 2018: Graphes planaires sans triangle

En rouge, les résultats qui prouvent en fait une borne  $\lfloor \frac{n}{2} \rfloor$ .

Obstructions naturelles à la borne  $\lfloor \frac{n}{2} \rfloor$  :

**Semi-cliques impaires:** graphes à  $2k + 1$  sommets avec  $> 2k^2$  arêtes,  
i.e. les graphes ayant  $> \lfloor \frac{n}{2} \rfloor (n - 1)$  arêtes

Obstructions naturelles à la borne  $\lfloor \frac{n}{2} \rfloor$  :

**Semi- cliques impaires:** graphes à  $2k + 1$  sommets avec  $> 2k^2$  arêtes,  
i.e. les graphes ayant  $> \lfloor \frac{n}{2} \rfloor (n - 1)$  arêtes

**Conjecture forte de Gallai (Bonamy, Perrett, 2016)**

Tout graphe connexe à  $n$  sommets est soit une semi-clique impaire, soit admet une décomposition en au plus  $\lfloor \frac{n}{2} \rfloor$  chemins.

# Conjecture forte

Obstructions naturelles à la borne  $\lfloor \frac{n}{2} \rfloor$  :

**Semi- cliques impaires:** graphes à  $2k + 1$  sommets avec  $> 2k^2$  arêtes,  
i.e. les graphes ayant  $> \lfloor \frac{n}{2} \rfloor (n - 1)$  arêtes

**Conjecture forte de Gallai (Bonamy, Perrett, 2016)**

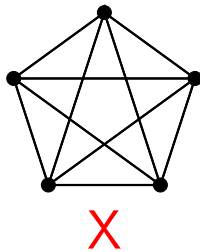
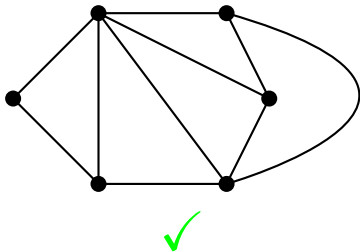
Tout graphe connexe à  $n$  sommets est soit une semi-clique impaire, soit admet une décomposition en au plus  $\lfloor \frac{n}{2} \rfloor$  chemins.

Utile pour traiter les graphes **non-connexes**

$$\lfloor \frac{n_1}{2} \rfloor + \lfloor \frac{n_2}{2} \rfloor + \dots + \lfloor \frac{n_k}{2} \rfloor \leq \lfloor \frac{n_1 + n_2 + \dots + n_k}{2} \rfloor$$

# Graphes planaires

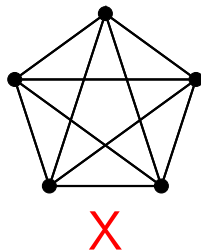
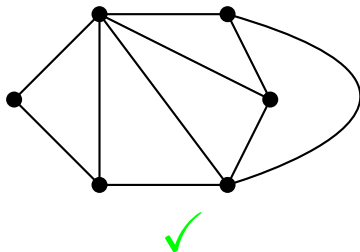
Un graphe est **planaire** s'il peut être plongé dans le plan, i.e. dessiné sans croisement d'arêtes.





# Graphes planaires

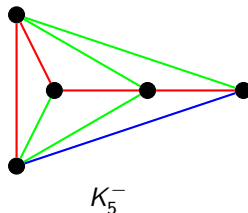
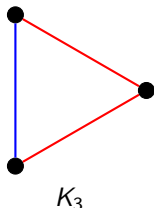
Un graphe est **planaire** s'il peut être plongé dans le plan, i.e. dessiné sans croisement d'arêtes.



Théorème (B., Bonamy, Bonichon, 2020+)

La conjecture de Gallai est vraie sur les graphes planaires.

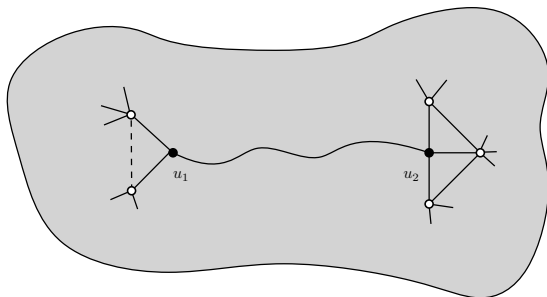
Semi-cliques impaires planaires :



Théorème (B., Bonamy, Bonichon, 2020+)

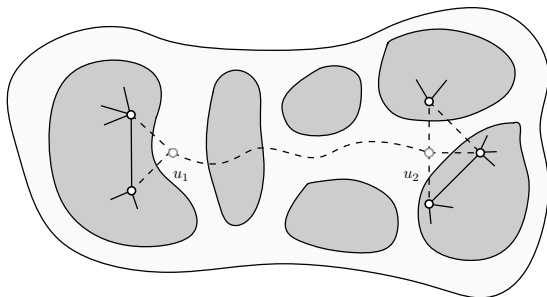
Tout graphe planaire connexe à  $n$  sommets, sauf  $K_3$  et  $K_5^-$ , a une décomposition en au plus  $\lfloor \frac{n}{2} \rfloor$  chemins.

$G \equiv$  **Contre-exemple minimum**



$G$  a  $n$  sommets,  $u_1, u_2$  sont des sommets spéciaux,  $P$  est un chemin entre  $u_1, u_2$ .

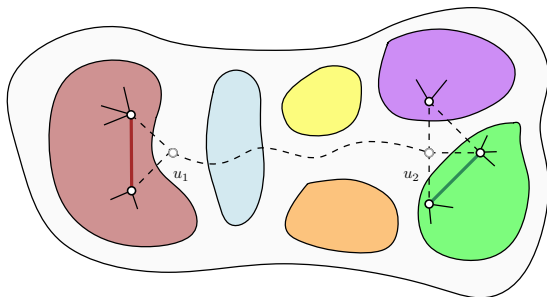
$G \equiv$  **Contre-exemple minimum**



$G$  a  $n$  sommets,  $u_1, u_2$  sont des sommets spéciaux,  $P$  est un chemin entre  $u_1, u_2$ .

$G - \{u_1, u_2\} - P$  a 6 composantes  $G_1, \dots, G_6$ , avec  $n_1, \dots, n_6$  sommets respectivement.

$G \equiv$  **Contre-exemple minimum**

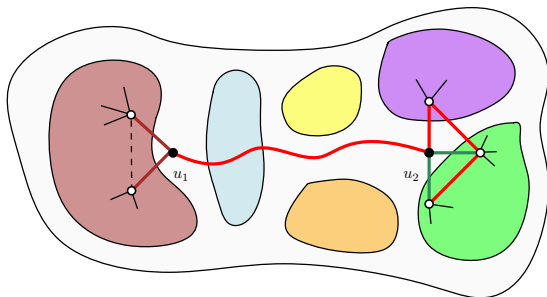


$G$  a  $n$  sommets,  $u_1, u_2$  sont des sommets spéciaux,  $P$  est un chemin entre  $u_1, u_2$ .

$G - \{u_1, u_2\} - P$  a 6 composantes  $G_1, \dots, G_6$ , avec  $n_1, \dots, n_6$  sommets respectivement.

Supposons que chaque  $G_i$  a une décomposition en  $\leq \lfloor \frac{n_i}{2} \rfloor$  chemins.

$G \equiv$  **Contre-exemple minimum**



$G$  a  $n$  sommets,  $u_1, u_2$  sont des sommets spéciaux,  $P$  est un chemin entre  $u_1, u_2$ .

$G - \{u_1, u_2\} - P$  a 6 composantes  $G_1, \dots, G_6$ , avec  $n_1, \dots, n_6$  sommets respectivement.

Supposons que chaque  $G_i$  a une décomposition en  $\leq \lfloor \frac{n_i}{2} \rfloor$  chemins.

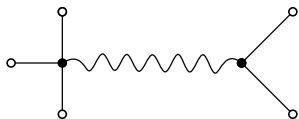
On peut trouver une décomposition en chemins de  $G$  en

$$\leq 1 + \lfloor \frac{n_1}{2} \rfloor + \dots + \lfloor \frac{n_6}{2} \rfloor \leq \lfloor \frac{n}{2} \rfloor \text{ chemins.}$$

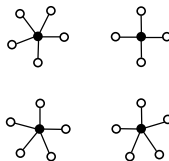
# Aperçu de la preuve

- 1 Prouver qu'un contre-exemple minimum ne contient pas certaines configurations (*difficile*)
- 2 Montrer une contradiction avec la formule d'Euler ("*facile*")

2 types de configurations à éliminer: configurations  $C_I$  et  $C_{II}$



$C_I$

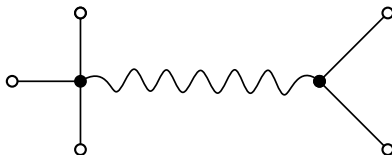


$C_{II}$

# Configurations $C_I$

Configuration  $C_I$  : 2 sommets de degré au plus 4

Comme le graphe est connexe, ils sont associés à un plus court chemin.

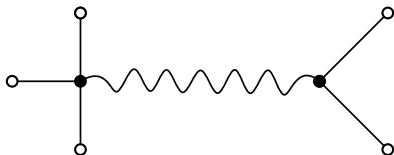




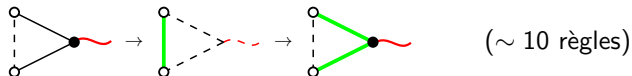
# Configurations $C_I$

Configuration  $C_I$  : 2 sommets de degré au plus 4

Comme le graphe est connexe, ils sont associés à un plus court chemin.



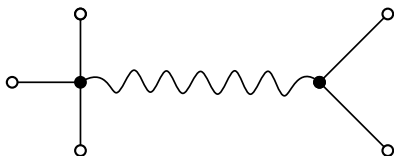
- **Demi-règles** : quand les sommets sont “loin” les uns des autres, à distance  $\geq 3$



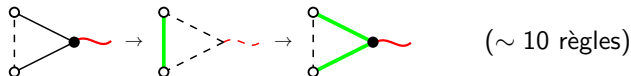
# Configurations $C_I$

Configuration  $C_I$  : 2 sommets de degré au plus 4

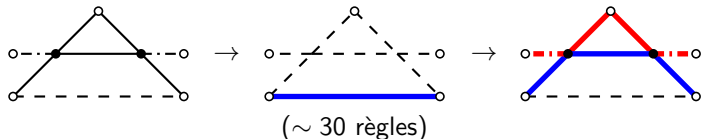
Comme le graphe est connexe, ils sont associés à un plus court chemin.



- **Demi-règles** : quand les sommets sont “loin” les uns des autres, à distance  $\geq 3$

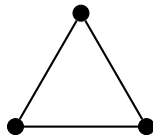


- **Règles de résolution** : quand les sommets sont à distance  $\leq 2$

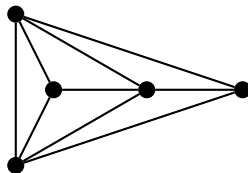


Pour résoudre une configuration, 2 propriétés à vérifier :

- **Validité:** La règle définit une décomposition en chemins avec le bon nombre de chemins, ne crée pas de cycle.
- **Sûreté:** La règle ne génère pas de composante  $K_3$  ou  $K_5^-$ .



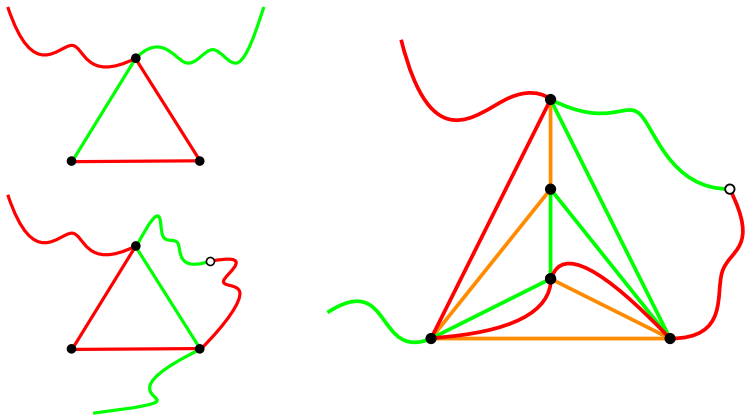
$K_3$



$K_5^-$

# Stratégie pour la sûreté

On s'occupe de chaque composante  $K_3$  et  $K_5^-$  générée en la combinant avec un chemin de la décomposition.



# Configurations $C_{II}$

Configuration  $C_{II}$  : 3 sommets de degré 5 ; 1 sommet de degré 4 ou 5  
("sommets spéciaux")

On suppose dorénavant que le graphe est **presque 4-connexe** :

- Pas de 3-cut séparant deux sommets spéciaux ;
- Pas de 3-cut ayant un sommet spécial et séparant deux de ses voisins.

# Configurations $C_{II}$

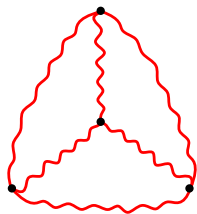
Configuration  $C_{II}$  : 3 sommets de degré 5 ; 1 sommet de degré 4 ou 5  
("sommets spéciaux")

On suppose dorénavant que le graphe est **presque 4-connexe** :

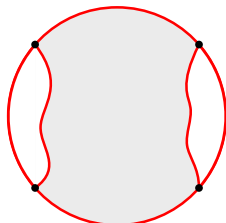
- Pas de 3-cut séparant deux sommets spéciaux ;
- Pas de 3-cut ayant un sommet spécial et séparant deux de ses voisins.

Corollaire de (Yu, 1994)

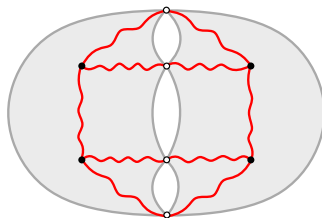
Un graphe planaire presque 4-connexe admet une  $K_{4-}$ ,  $C_{4+}^1$ - ou  $C_{4+}^2$ -subdivision.



$K_4$ -subdivision

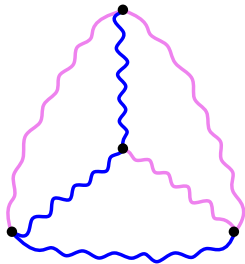


$C_{4+}^1$ -subdivision

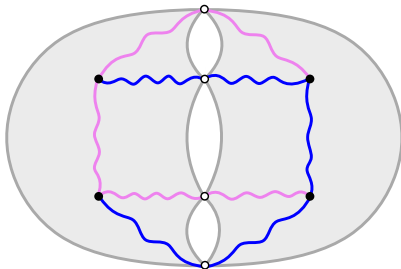
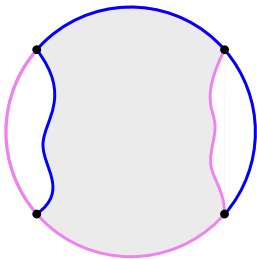


$C_{4+}^2$ -subdivision

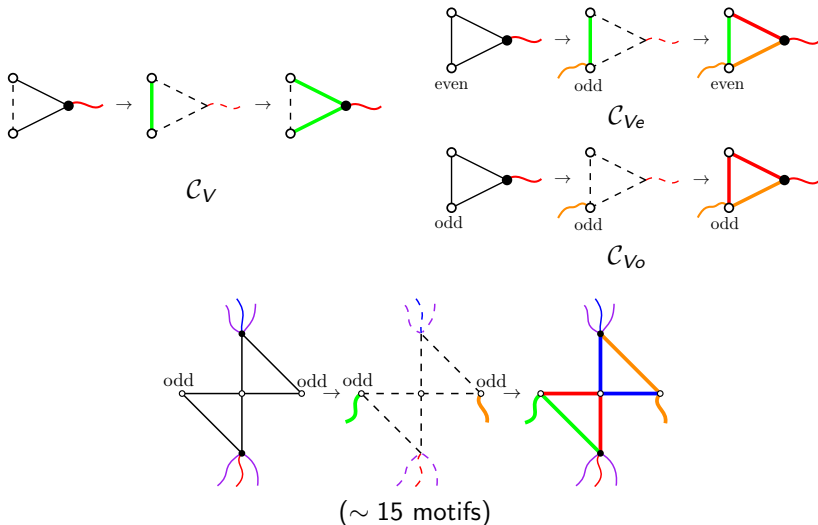
# Subdivisions



- Décomposable en 2 chemins
- Un chemin termine sur chaque sommet spécial

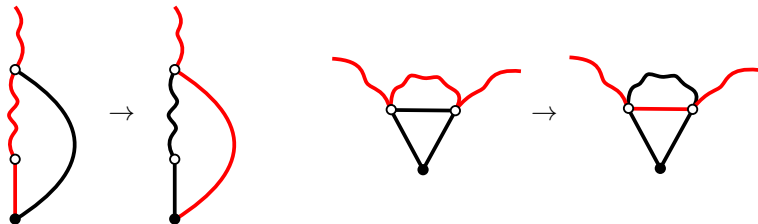


**Motifs** : traitent les 1 ou 2 **voisins restants** de chaque sommet spécial

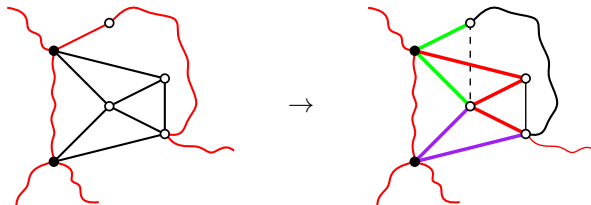




Étape 1 :



Étape 2 :



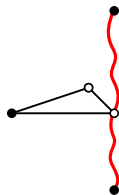
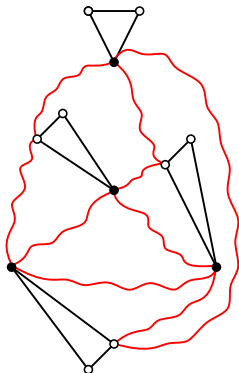
(8 règles)

# Problèmes

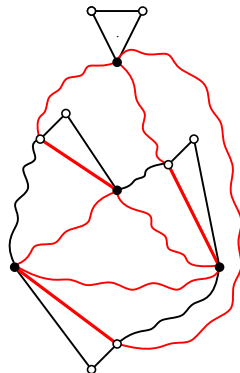
2 types de problèmes peuvent survenir :

- Problèmes **distants**

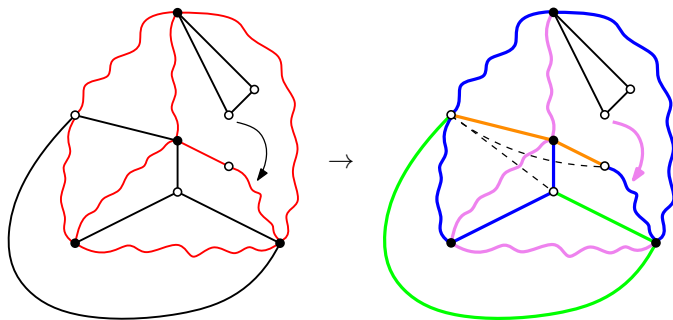
Exemple:



(6 règles)



- Problèmes **proches**



(~ 35 règles)

## Preuve

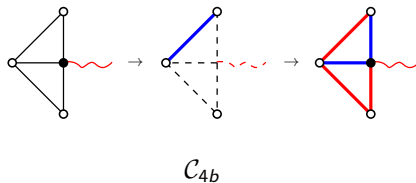
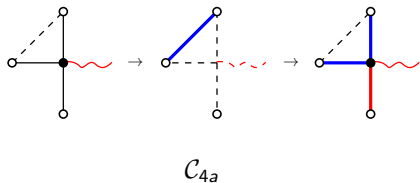
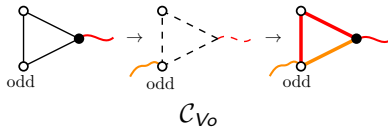
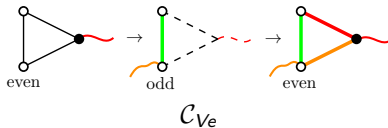
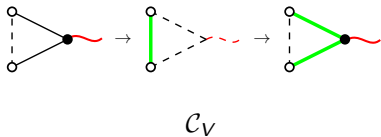
- Elimination des configurations  $C_I$ 
  - Demi-règles
  - Règles de résolution pour les cas proches
  - Sûreté : combiner les  $K_3, K_5^-$  avec un chemin
- Elimination des configurations  $C_{II}$ 
  - $K_4-, C_{4+}^1, C_{4+}^2$ -subdivisions
  - Motifs pour chaque sommet spécial
  - Elimination des problèmes
    - Problèmes distants par routage
    - Problèmes proches par solutions ad hoc
- Contradiction en utilisant la formule d'Euler

## Preuve

- Elimination des configurations  $C_I$ 
  - Demi-règles
  - Règles de résolution pour les cas proches
  - Sûreté : combiner les  $K_3, K_5^-$  avec un chemin
- Elimination des configurations  $C_{II}$ 
  - $K_4-, C_{4+}^1-, C_{4+}^2-$ -subdivisions
  - Motifs pour chaque sommet spécial
  - Elimination des problèmes
    - Problèmes distants par routage
    - Problèmes proches par solutions ad hoc
- Contradiction en utilisant la formule d'Euler

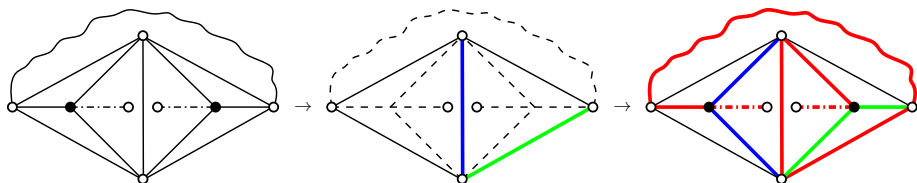
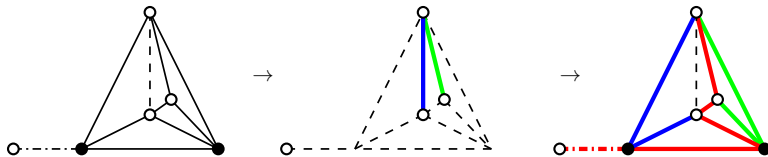
**Merci de votre attention.**

# Demi-règles (exemples)



...

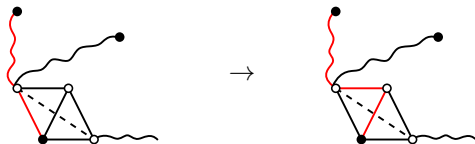
# Règles de résolution (exemples)



...

# Elimination des problèmes distants

## Opération de routage



Assure que chaque problème distant est changé en motif  $\mathcal{C}_V$  (ou  $\mathcal{C}_{EXT}$ )

Exemple:

